

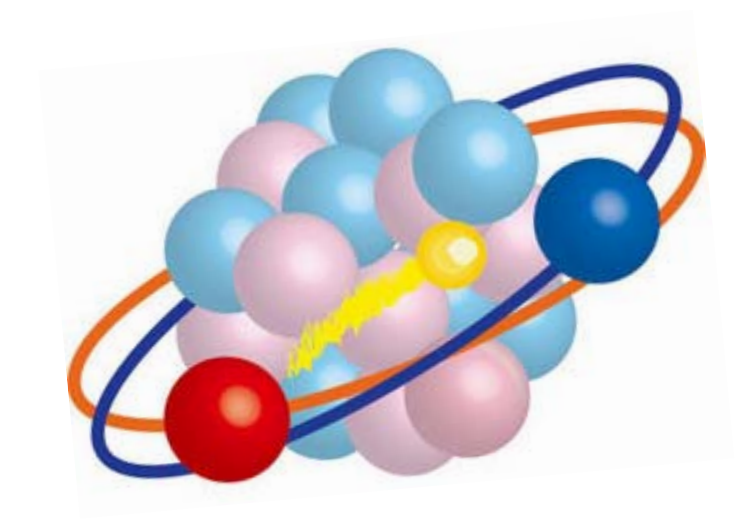
Kerne und Teilchen

Moderne Physik III

Vorlesung # 4

2.3 Kernmodelle

- Schalenmodell
- Struktur der Kernkräfte
- LS-Kopplung
- Nukleon-Nukleon Potential
- Austauschkräfte:
 Pionen und Mesonen





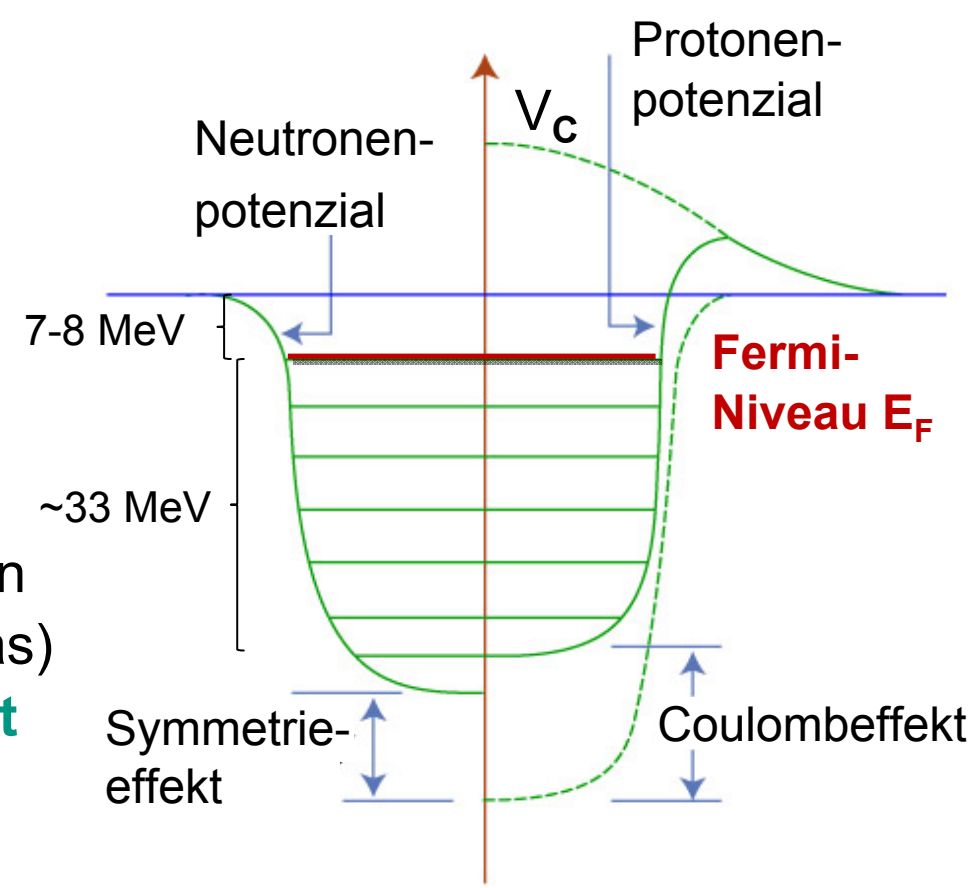


Wiederholung: • Fermigasmodell

- Nukleonen bilden im Kerngrundzustand bei T = 0 K ein 'Fermigas' von wechselwirkungsfreien Teilchen, da alle Fermion-Zustände bis zur Fermi-Energie E_F besetzt sind
- Bestimmung der Fermi-Energie E_F bzw. des Fermi-Impulses p_F aus der Quantenstatistik eines Fermigases: für Kerne mit Z = N = A/2

$$\rho_F = \left(\frac{9\pi}{8}\right)^{1/3} \frac{\hbar}{R_0} \approx 250 \text{ MeV / c}$$

Potenzial V₀ ~ 40 MeV, unabhängig von Massenzahl A (vgl. freies Elektronengas) kinetische Energie der Nukleonen ist in der gleichen Größenordnung wie das Kernpotential: E_F ~ V₀





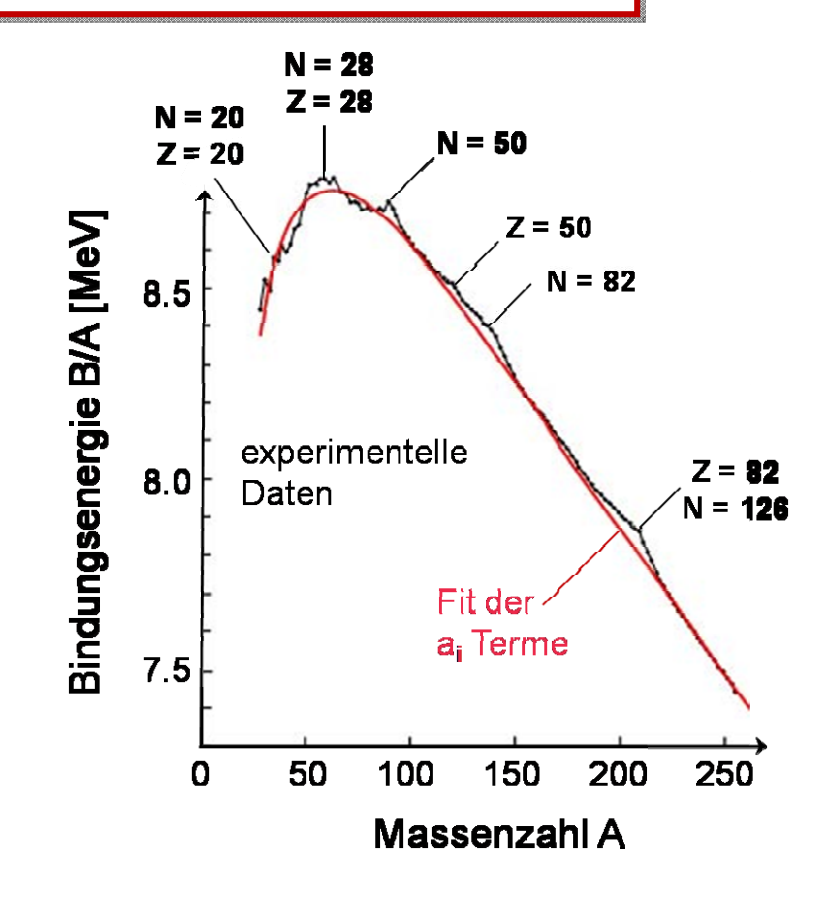
Tröpfchenmodell



■ Tröpfchenmodell von C.F. v. Weizsäcker: semiempirische Massenformel Bindungsenergie pro Nukleon

$$B(Z,A) = a_V \cdot A - a_S \cdot A^{2/3} - a_C \cdot Z^2 \cdot A^{1/3} - a_A \cdot (N-Z)^2 / A + \delta(Z,A)$$

- Volumenterm: Kondensation
- Oberflächenterm: weniger Partner
- Coulombterm: Protonenladung
- Asymmetrie-Term: Ferminiveaus
- Paarungs-Term: antiparalleler Spin
- bei bestimmten magischen Protonenzahlen Z & Neutronenzahlen N verbleiben Abweichungen zwischen dem Experiment & der Massen-Formel des Tröpfchenmodells: Resultat der Schalenstruktur der Kerne

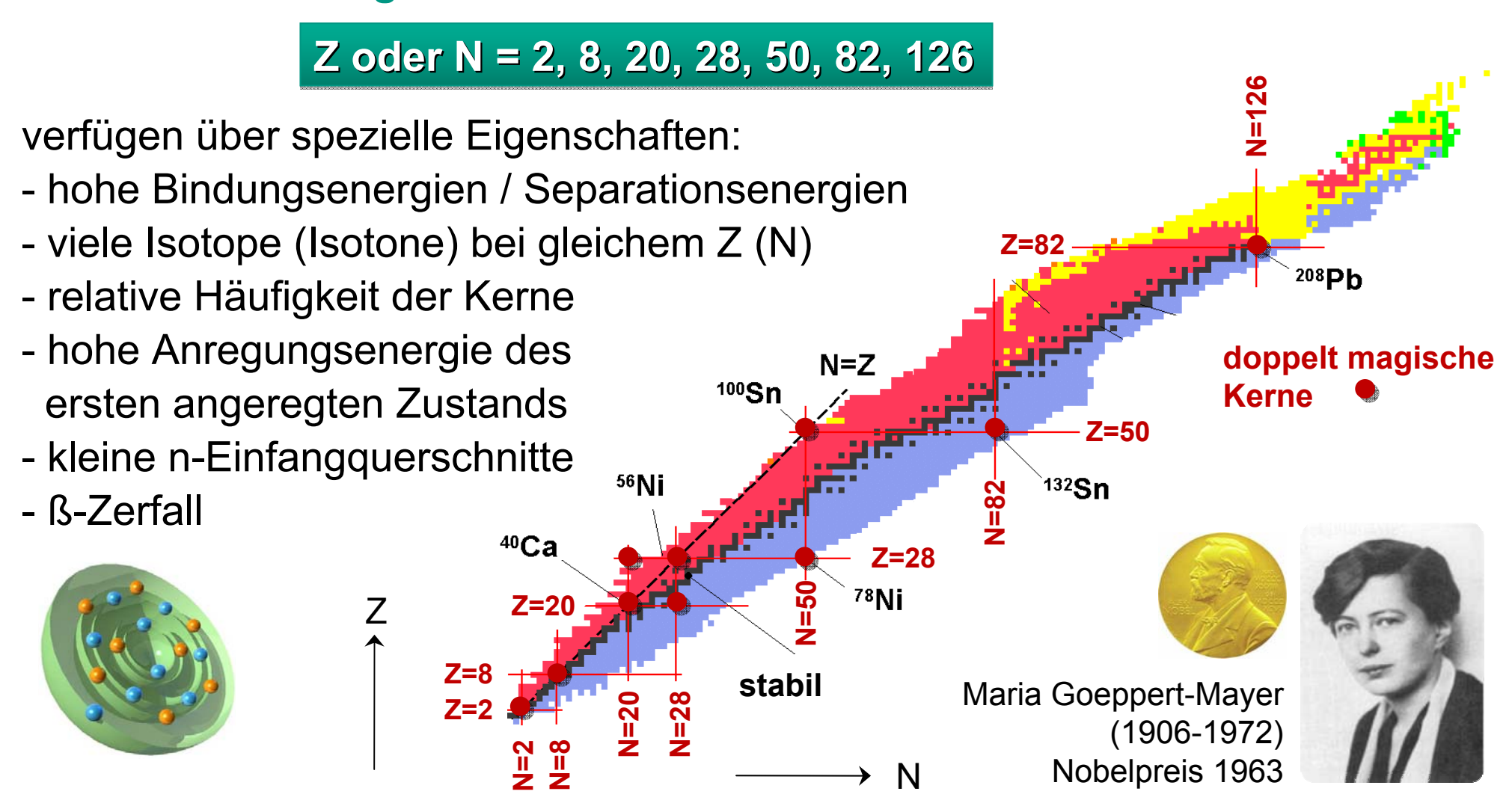




Schalenmodell



Kerne mit den magischen Protonen- oder Neutronen-Zahlen





Experimentelle Befunde

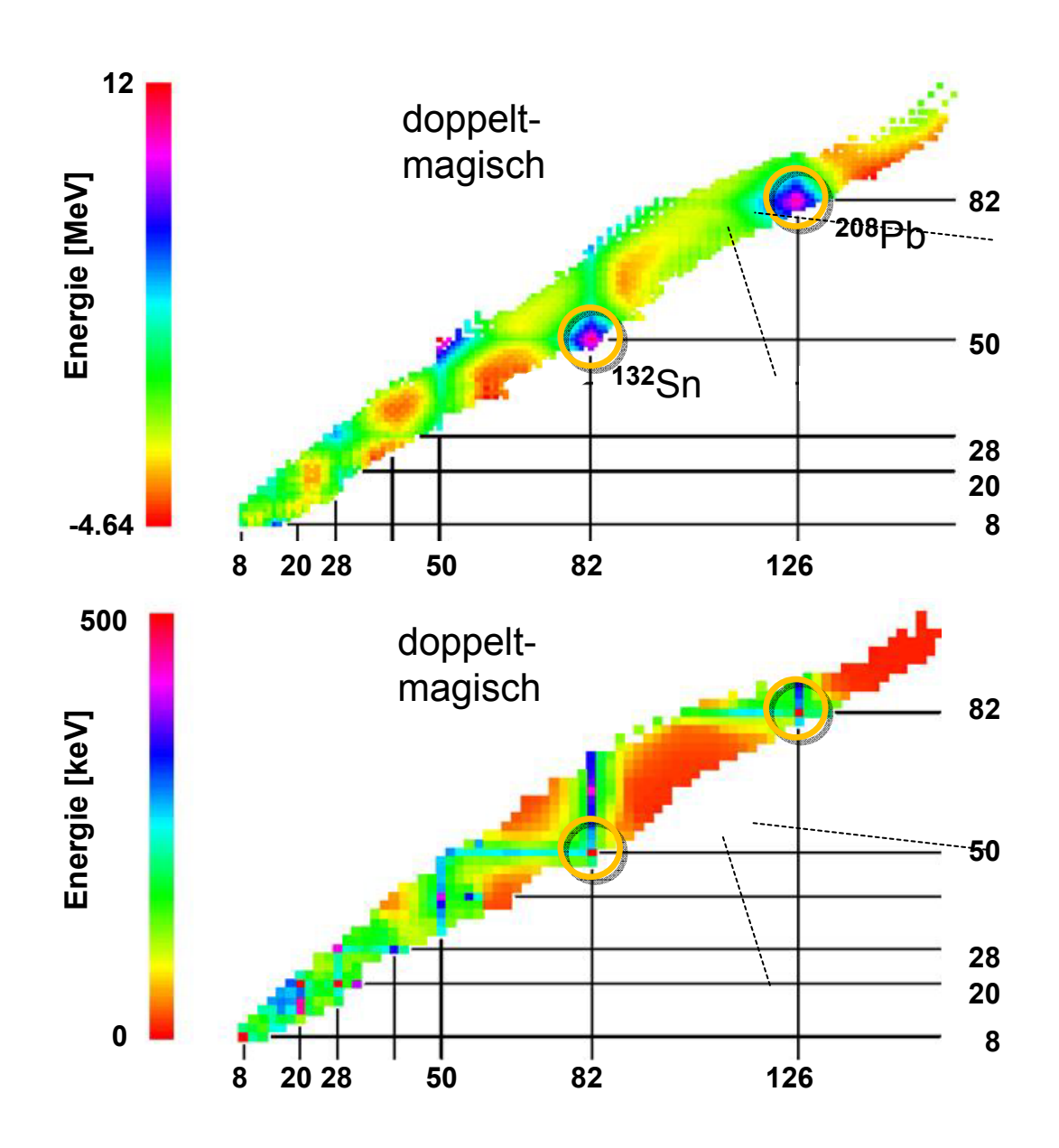


doppelt magische Kerne:

⁴He, ¹⁶O, ⁴⁰Ca, ⁷²Ge,...

Abweichungen von der Bethe-Weizsäcker Massenformel: hohe Bindungsenergie bei magischen Zahlen

Energie des ersten angeregten Kernniveaus mit J^P = 2+: hohe Anregungsenergie bei magischen Zahlen





Kernpotentiale



- Analogie zu magischen Zahlen der Atomphysik (Z = 2, 10, 18, 36, 54, 80, 86) dort wird ein Potenzial erzeugt durch langreichweitiges Coulombfeld –Z e²/r Ansatz in der Kernphysik: Aufstellung eines mittleren Kernpotenzials V(r), in dem sich die einzelnen Nukleonen (wechselwirkungsfrei) bewegen Methode: Lösung der **Schrödinger-Gleichung** für Modellpotenzial V(r)

• u(r) folgt aus radialem Anteil der Schrödinger-Gleichung
$$\frac{1}{2M_N}\Delta u + \left(E - V(r) - \frac{\ell \cdot (\ell+1)}{2M_N \cdot r^2}\right)u = 0$$

Zentrifugalterm

Hauptquantenzahl n, Drehimpuls $\ell = 0, 1, 2, 3, ...$ (s,p,d,f...) magnet. Quantenzahl m

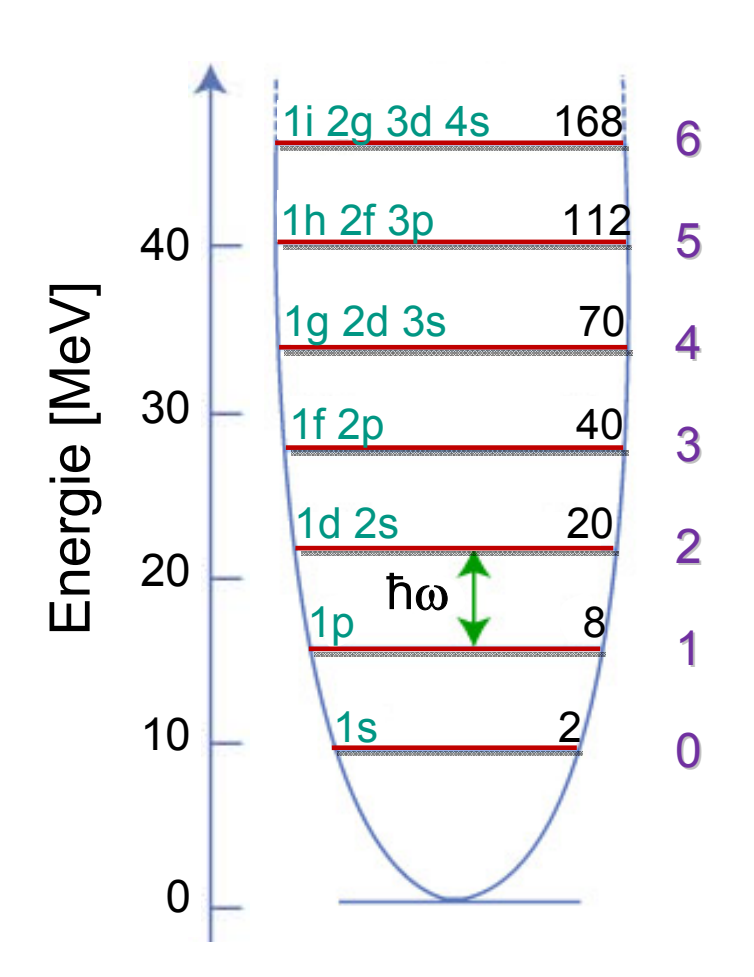
- Vergleich der Energieniveaus (Schalenabschlüsse) mit den beobachteten magischen Zahlen, \$\infty\$ Anpassung des Modellpotenzials
 - Kastenpotenzial, harmonischer Oszillator, Woods-Saxon-Potenzial

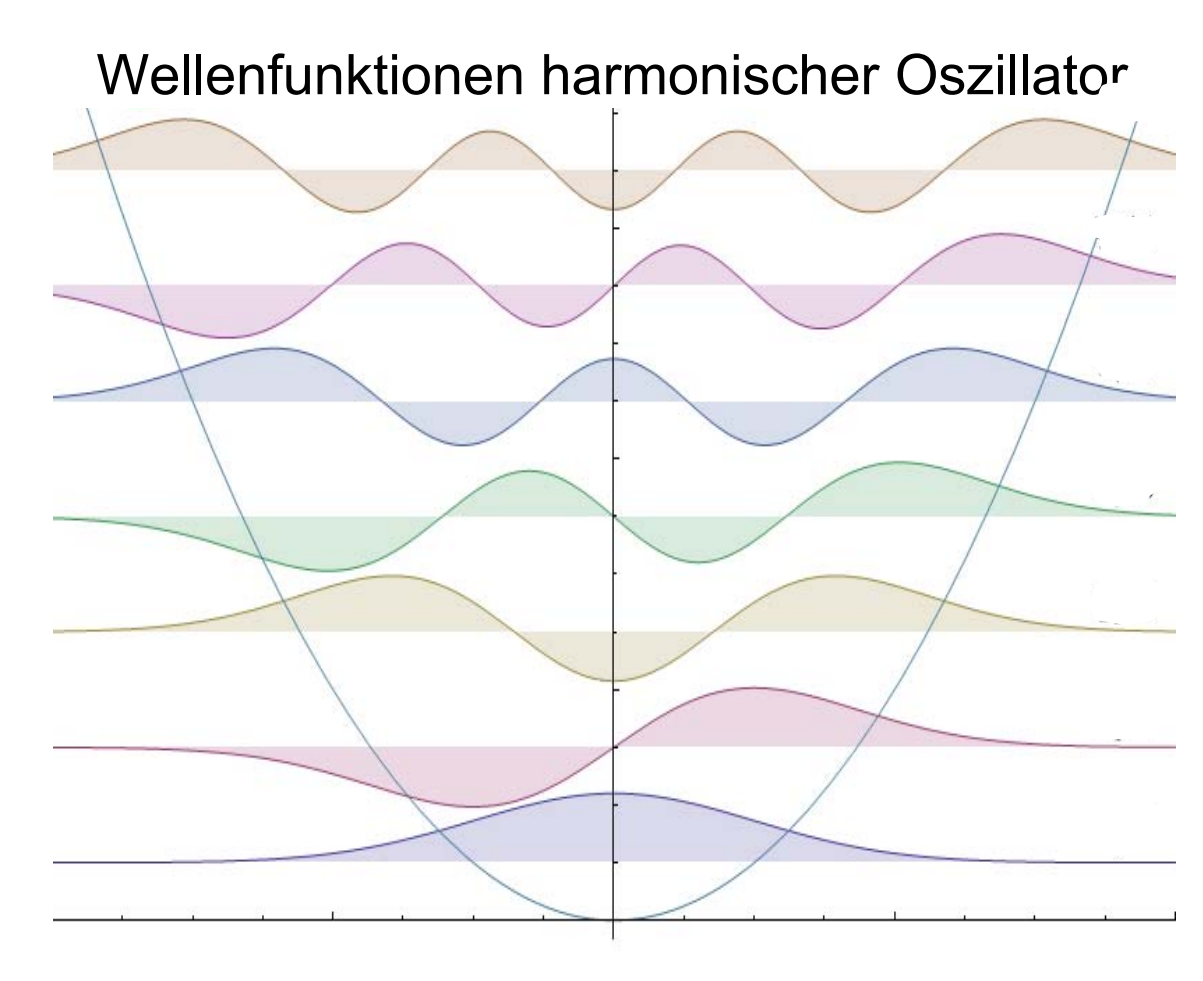


Modell 1: harmonischer Oszillator



Nukleonen befinden sich in einem Potenzial V(r) eines harmonischen Oszillators mit Tiefe V₀ ~ 40 MeV

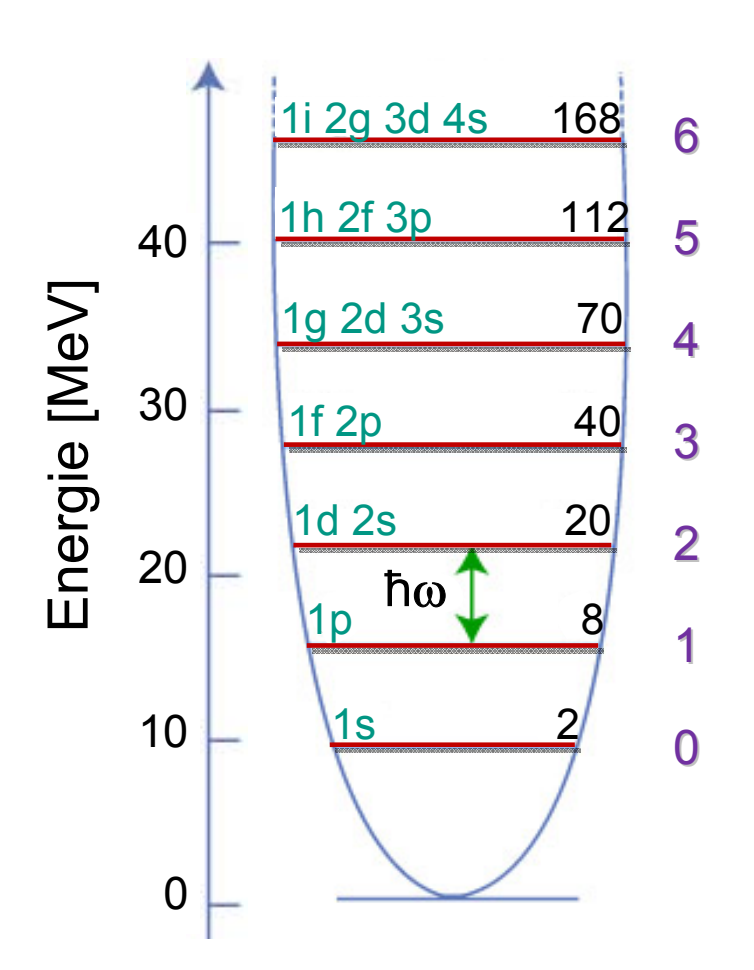








Nukleonen befinden sich in einem Potenzial V(r) eines harmonischen Oszillators mit Tiefe V₀ ~ 40 MeV



harmonischer Oszillator

Oszillatorpotenzial

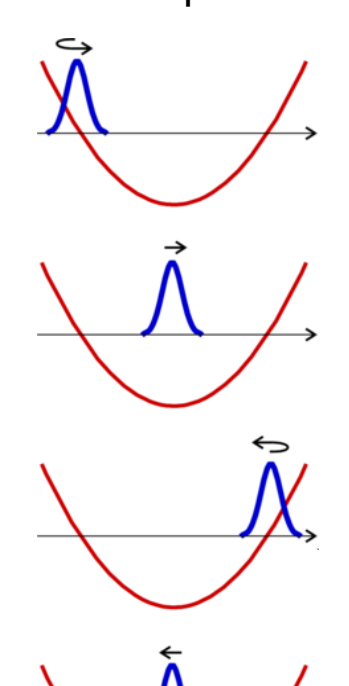
$$V(r) = \frac{1}{2} M_N \omega^2 r^2 - V_0$$

$$\hbar\omega$$
 – Schale: 2·(n-1)+ ℓ

$$E_{n\ell} = -V_0 + (2n + \ell + \frac{1}{2}) \hbar \omega$$

ħω	n	િ	Zustand	Σ 2(2ℓ+1)
0	1	0	1s	2
1	1	1	1p	8
2	2	0 2	2s 1d	20
3	2 1	1 3	2p 1f	40

quasiklassiche
Bewegung eines
Nukleons im
Oszillatorpotential

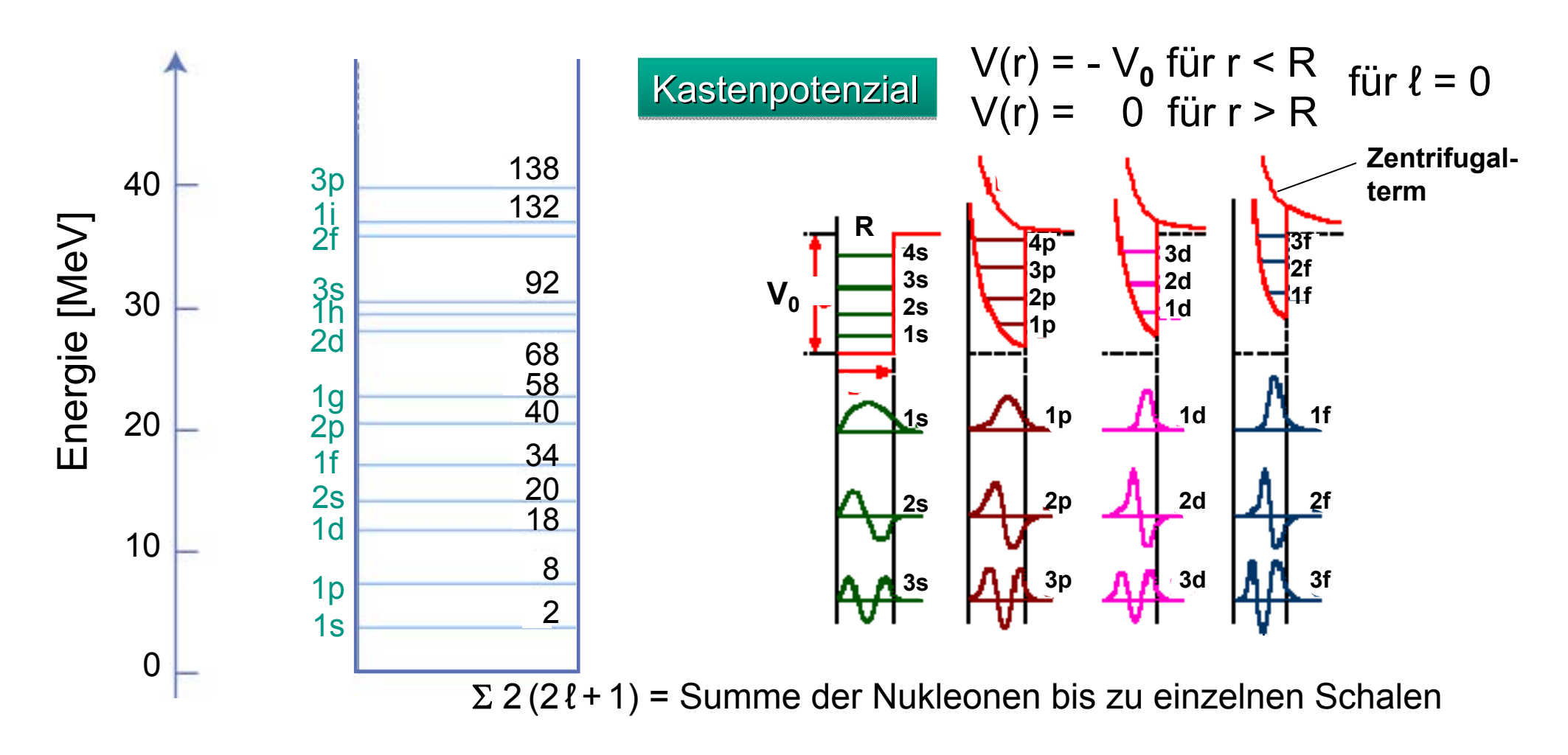




Modell 2: Kastenpotential



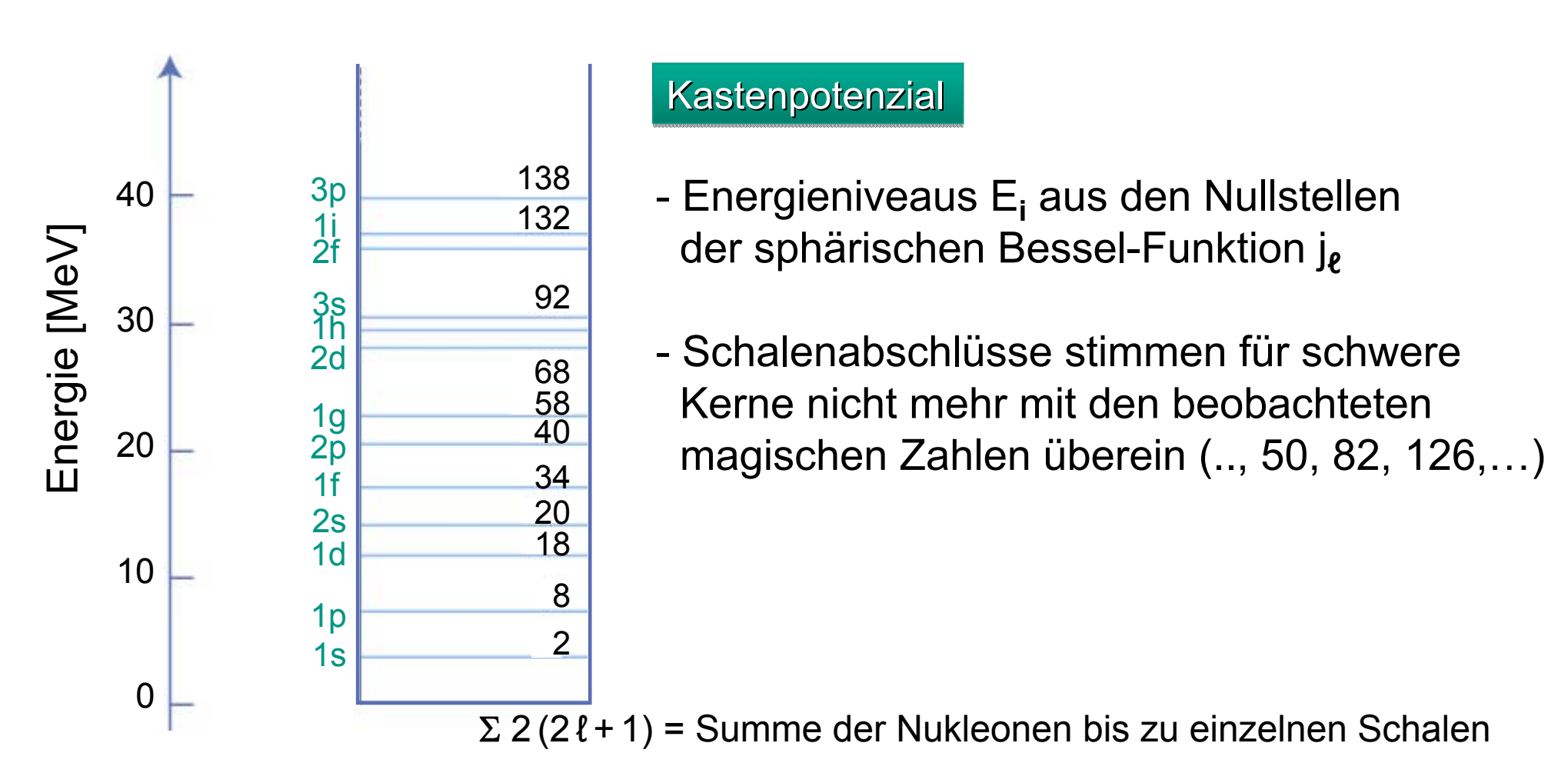
 Nukleonen befinden sich in einem Kasten-Potential V(r) mit einer endlichen Tiefe V₀ ~ 40 MeV (Tiefe gegeben durch Fermigas-Modell)







 Nukleonen befinden sich in einem Kasten-Potential V(r) mit einer endlichen Tiefe V₀ ~ 40 MeV (Tiefe gegeben durch Fermigas-Modell)





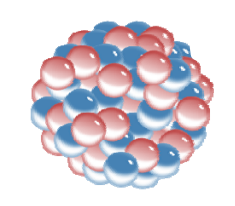
Modell 3: Woods – Saxon Potential

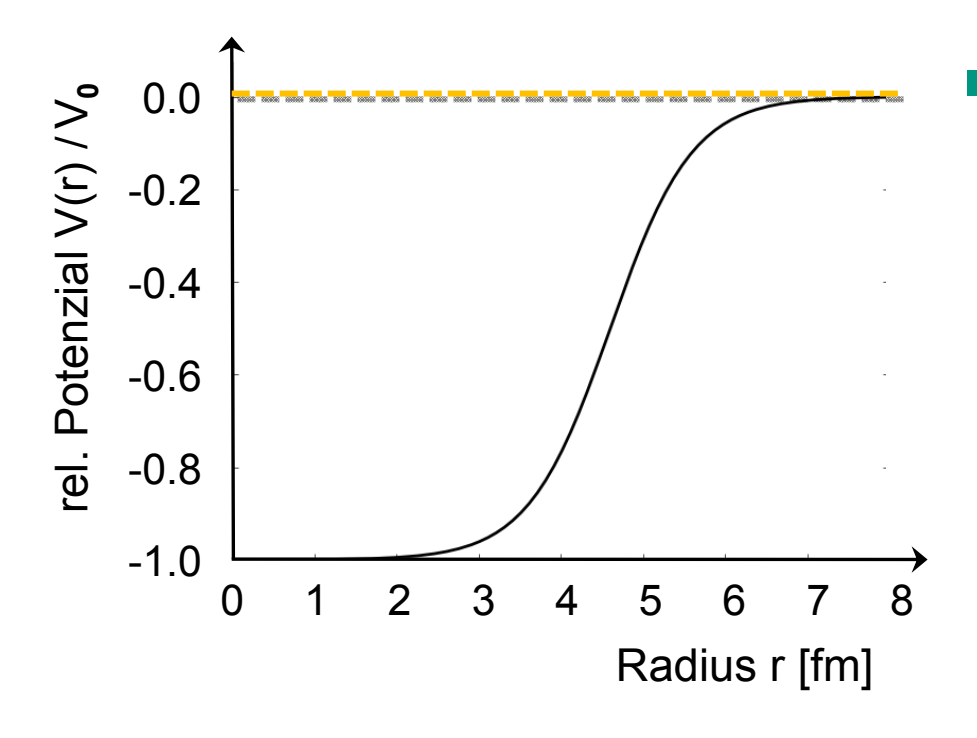


Ansatz: benutze Saxon-Woods Dichteverteilung $\rho(r)$ [s. Kernformfaktoren], Woods-Saxon Potential: Verlauf folgt der Verteilung der Nukleonen im Kern, V(r)_{Woods-Saxon} liegt zwischen harmonischem Oszillator & Kastenpotential

$$V(r) = \frac{V_0}{1 + e^{(r-a)/d}}$$

a: Kernradius (a ~ A^{1/3}) d: Skindicke (~ 0.5 fm)



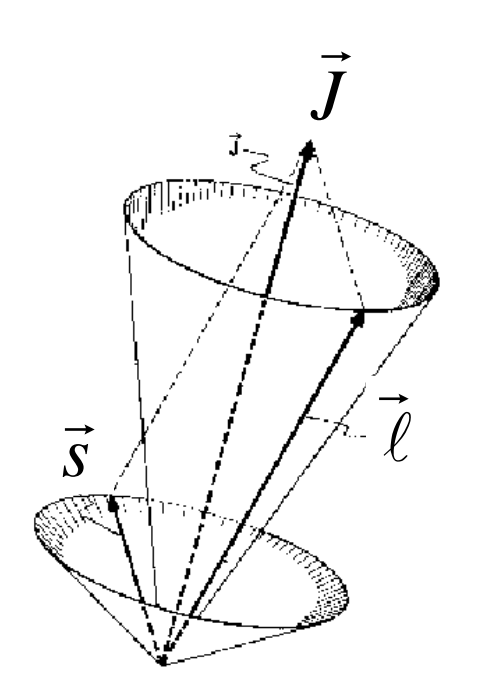


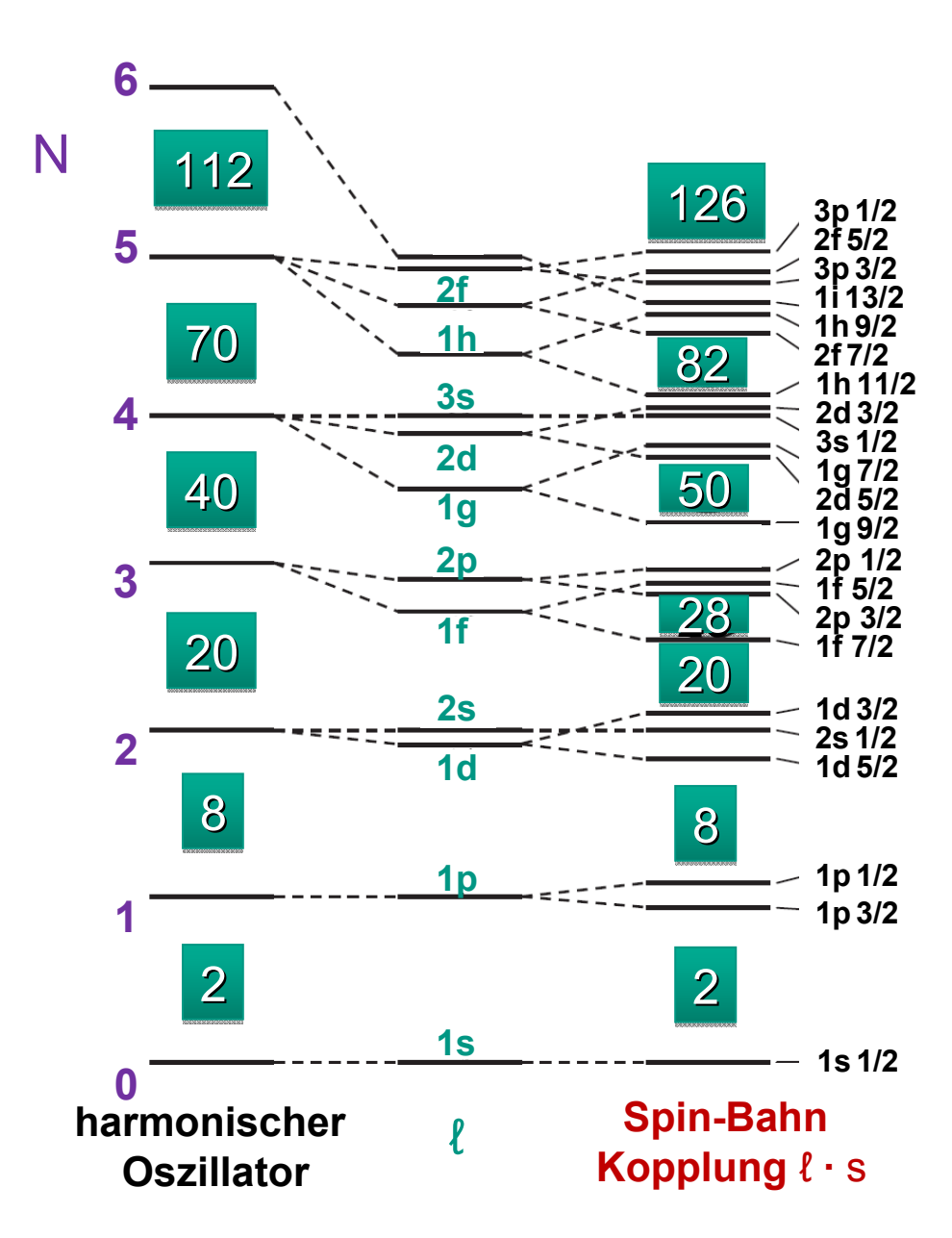
- Energie-Eigenwerte des Woods-Saxon Potentials liegen zwischen denen des Kastenpotentials & des harmonischen **Oszillators**
- 'magische Zahlen' für schwere Kerne Kerne stimmen nicht mit gemessenen Zahlen überein
- weitere phys. Effekte: was ist die genaue Struktur der Kernkräfte?





Woods-Saxon Potential ist Ausgangspunkt zur Beschreibung der Kernkräfte, aber weitere Terme! wichtige Erkenntnis (vgl. Atomphysik): auch bei Kernkräften Kopplung von Bahndrehimpuls ℓ und Spin s





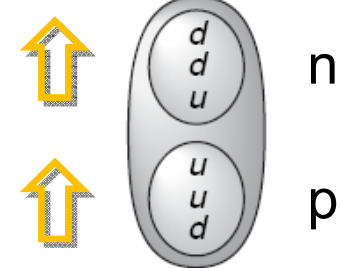


Struktur der Kernkräfte



Untersuchung des Deuteron: einfachstes gebundenes System aus zwei Nukleonen (Di-Proton & Di-Neutron sind ungebunden)

Eigenschaften des Deuterons (Grundzustand)					
Bindungsenergie	B = - 2.225 MeV				
Spin & Parität	$J^{P} = 1^{+}$				
Isospin	I = 0				
magnetisches Moment	$\mu = 0.857 \mu_{\text{Nukleon}} \neq \mu_{\text{P}} + \mu_{\text{n}}$				
elektr. Quadrupolmoment	$Q = 0.282 e fm^2$				



up:
$$I_3 = +\frac{1}{2}$$
, down: $I_3 = -\frac{1}{2}$

nicht kugelsymmetrisch

Eigenschaften des Deuterons:

Spin: J = 1 ∜ Spins von Proton & Neutron sind parallel, Triplettzustand û û vorwiegend in Zustand mit L = 0 (96%), d.h. ³S₁ [^{2S+1}L_J] kleine D-Beimischung (4%), d.h. ³D₁

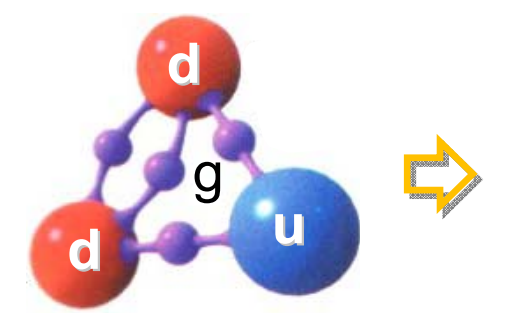




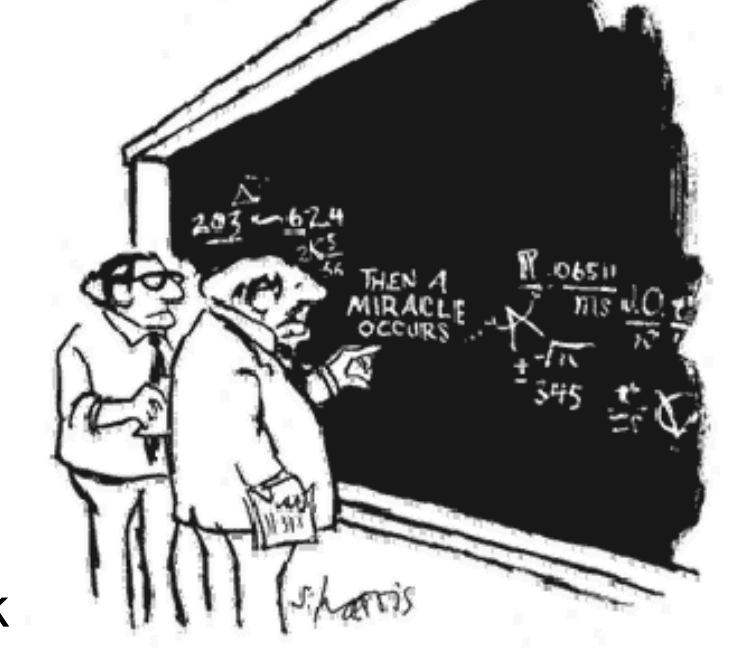
 Struktur der Kernkraft ist deutlich komplexer als die Struktur z.B. der Coulombkraft/Newtonschen Gravitation (Zentralpotenziale)

- ergibt sich aus ihrer Struktur als **Restwechselwirkung** von farbneutralen Nukleonen (Analogie: elektromagnetische van der Waals – Kräfte zwischen

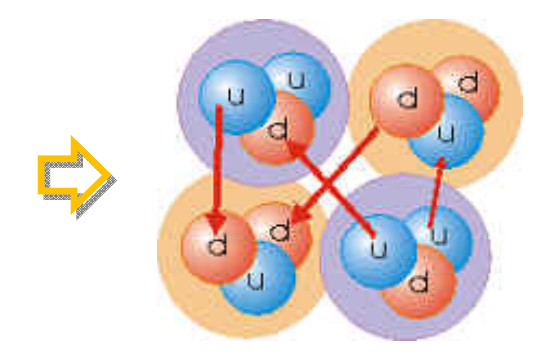
neutralen Atomen)



Quantenchromodynamik



"I THINK YOU SHOULD BE MORE EXPLICIT HERE IN STEP TWO."



Restwechselwirkung





- Struktur der Kernkraft ist deutlich komplexer als die Struktur z.B. der Coulombkraft/Newtonschen Gravitation (Zentralpotentiale)
 - ergibt sich aus ihrer Struktur als Restwechselwirkung von farbneutralen Nukleonen (Analogie: elektromagnetische van der Waals – Kräfte zwischen neutralen Atomen)

Zentralkraft V₀(r)

entnommen aus den Eigenschaften des Deuterons (96% ³S₁-Zustand)

spinabhängige Zentralkraft (Spin-Spin-Wechselwirkung)

entnommen aus der Neutron-Proton Streuung ($\sigma_{Singulett} > \sigma_{Triplett}$)

nichtzentrale Tensorkraft

folgt aus den höheren Momenten der Ladungsverteilungen im Kern

Spin-Bahn (l·s) - Kopplungsterm

entnommen aus der Streuung an polarisierten Protonen (Links/Rechts Asymmetrie)



Struktur der Kernkräfte: Potential



Tröpfchenmodell & Kernkräfte: auch bei schweren Kernen ist B/A ~ const., d.h. es wirken immer nur **Kräfte zwischen zwei Nukleonen** Wechselwirkung zwischen Nukleonen abhängig von dynamischen Größen: relativer Abstand \vec{x} , relativer Impuls \vec{p} , Gesamtbahndrehimpuls \vec{L} und relative Ausrichtung der Spins \vec{s}_1 , \vec{s}_2 :

$$V(r) = V_0(r)$$

$$+ V_{ss}(r) \cdot \vec{s}_1 \cdot \vec{s}_2 / \hbar^2$$

$$+ V_T(r) \cdot \frac{3}{\hbar^2} \frac{(\vec{s}_1 \cdot \vec{x})(\vec{s}_2 \cdot \vec{x})}{r^2} - \vec{s}_1 \cdot \vec{s}_2$$

$$+ V_{\ell S}(r) \cdot (\vec{s}_1 + \vec{s}_2) \cdot \vec{\ell} \cdot \frac{1}{\hbar^2}$$

Zentralpotenzial
Spin-Spin Wechselwirkung
nicht-zentrale Tensorkraft
Spin-Bahn Wechselwirkung



Spin-Spin-Kraft & LS Kopplung



Spin-Spin Kopplung

unabhängig vom Koordinaten-System, d.h. muß eine skalare Größe sein

$$\sim V_{ss}(r) \cdot \vec{s}_1 \cdot \vec{s}_2 / \hbar^2$$

unterschiedliche Eigenwerte für Triplett- und Singulett-Zustände

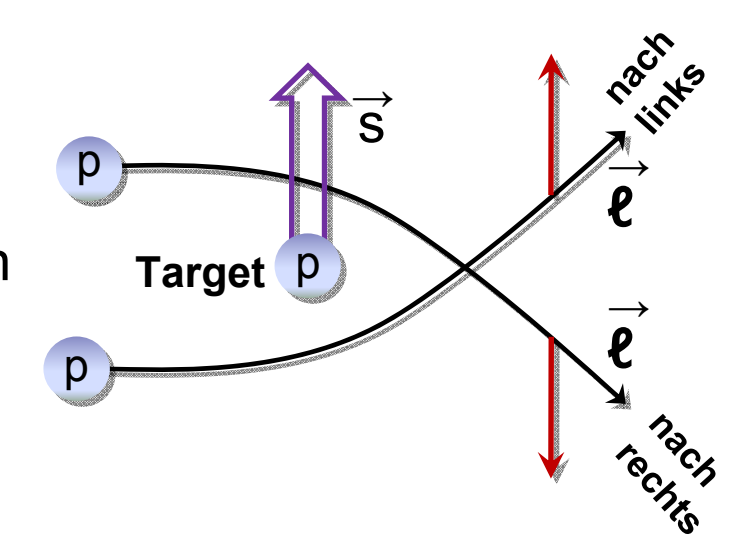
& Kopplung

in Analogie zur Feinstrukturaufspaltung der Atomhülle (M. Goeppert-Mayer): Kopplung zwischen dem Bahndrehimpuls ℓ und Spin s des Nukleons

$$\sim V_{\ell s}(r) \cdot (\vec{\ell} \cdot \vec{s})$$

Spin-Bahn Kopplung der starken Wechselwirkung

- Experimenteller Beleg für ℓ·s Kopplung: Streuung von Protonen an polarisierten Protonen zeigt eine Asymmetrie der Streuraten zwischen
 - Linksstreuung: $\ell \cdot \underline{s} > 0$
 - Rechtsstreuung: $\ell \cdot s < 0$





ls-Kopplung des Nukleons im Kern



Berechnung der Energieverschiebung der Nukleonen-Niveaus:

$$\vec{j} = \vec{\ell} + \vec{s} \qquad \vec{j}^2 = \vec{\ell}^2 + 2 \cdot \vec{\ell} \cdot \vec{s} + \vec{s}^2$$

$$\langle \vec{\ell} \cdot \vec{s} \rangle = \frac{1}{2} \begin{bmatrix} j \cdot (j+1) - \ell \cdot (\ell+1) - \frac{3}{4} \end{bmatrix} \qquad j = \ell + \frac{1}{2} : \qquad \langle \vec{\ell} \cdot \vec{s} \rangle = \frac{1}{2} \cdot \ell$$

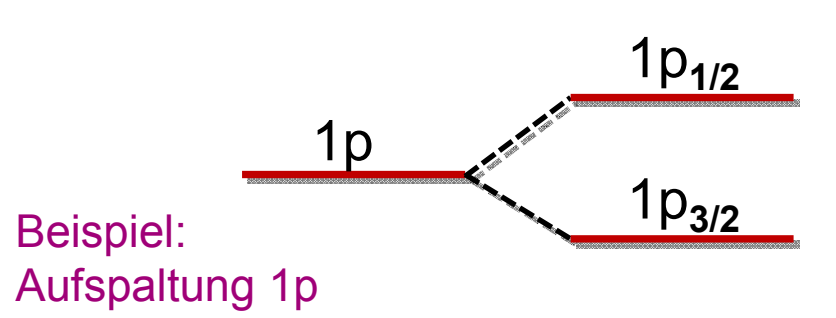
$$j = \ell - \frac{1}{2} : \qquad \langle \vec{\ell} \cdot \vec{s} \rangle = -\frac{1}{2} \cdot (\ell+1)$$

für j =
$$\ell + \frac{1}{2}$$
: $V(r) + \frac{1}{2} V_{\ell s}(r) \cdot \ell$
für j = $\ell - \frac{1}{2}$: $V(r) - \frac{1}{2} V_{\ell s}(r) \cdot (\ell + 1)$

Vorzeichen von $V_{\ell s}$ ergibt für j = ℓ - $\frac{1}{2}$ höhere Energien (geringeres Potenzial)

ΔE ~ 2 ℓ +1 mit wachsendem ℓ Zunahme der Aufspaltung

Atomhülle: kleine Feinstrukturaufspaltung
 Kernschalen: große Aufspaltung
 Aufspaltung > Niveauabstand
 Vorzeichen umgekehrt wie bei Atomen

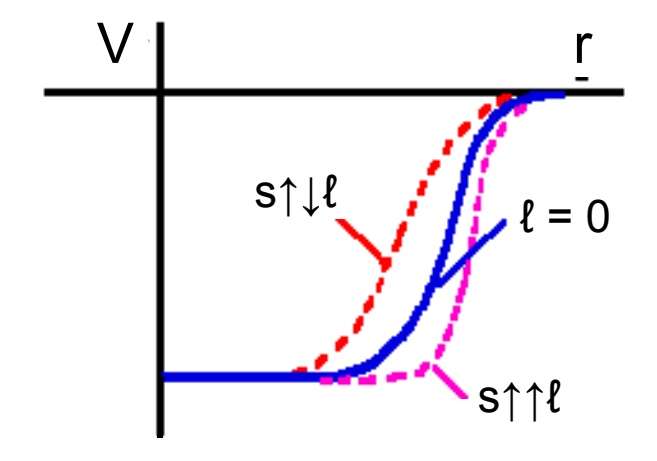


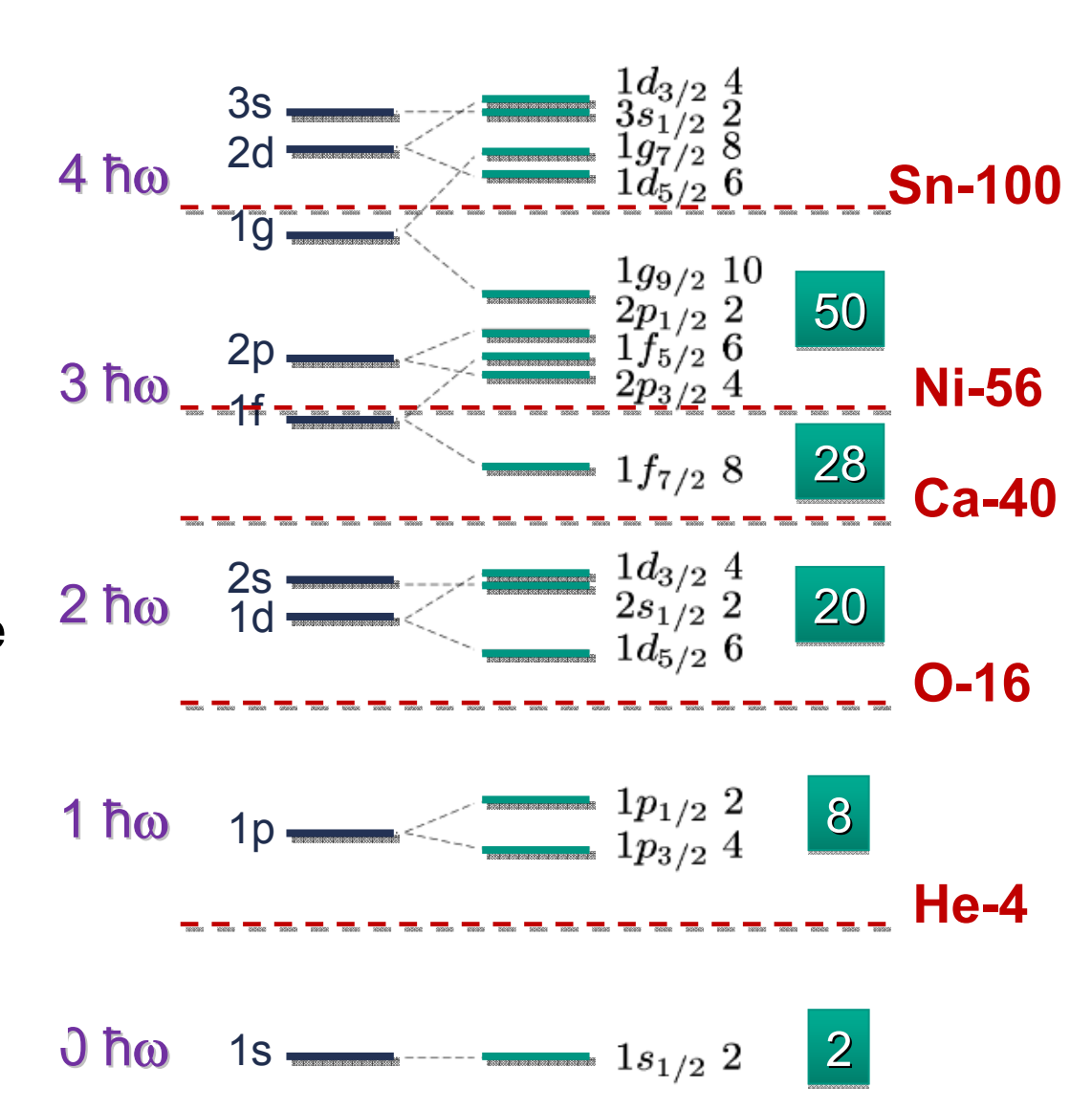


Auspaltung durch Spin-Bahn Kopplung



- Kernzustände mit $j = \ell + \frac{1}{2}$ liegen tiefer als $j = \ell - \frac{1}{2}$
- in jedem Niveau j :(2 j + 1) Protonen(2 j + 1) Neutronen
- Einfluss des V_{es} Terms der Spin-Bahn Kopplung auf das Saxon-Woods-Potenzial: maximale Beiträge von Peripherie







Tensor-Kraft



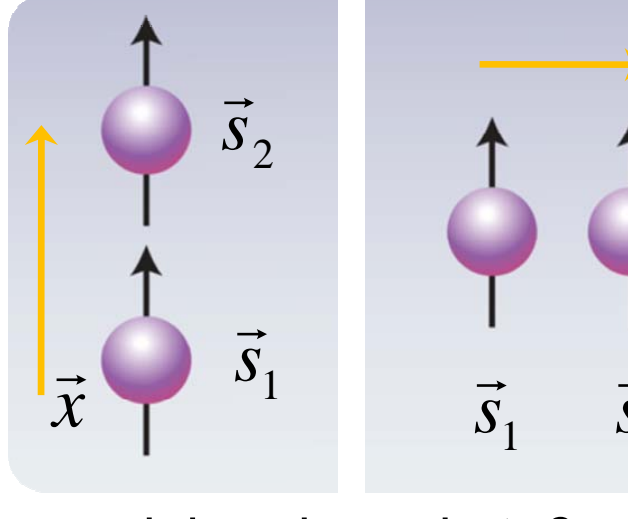
■ Tensorkraft ist spinabhängig und z.B. verantwortlich für die kleine Deformation des Deuterons (³D₁-Zustand)

Proton und Neutron: Spin s = ½, ∜ daher maximal Dipolmomente möglich

$$\sim V_T(r) \cdot \frac{3}{\hbar^2} \frac{(\vec{s}_1 \cdot \vec{x})(\vec{s}_2 \cdot \vec{x})}{r^2} - \vec{s}_1 \cdot \vec{s}_2$$

entspricht formal der Wechselwirkung von 2 magnetischen Dipolen

Tensorkraft



anziehend abstoßend

- keine Tensorkraft für Singulett-Zustände
- Tensorkraft wird vermittelt durch
 Pionaustausch, beeinflusst Schalen & magische Zahlen



Leuchtnukleonen & angeregte Zustände



■ gg-Kerne: Spins der Nukleonen heben sich paarweise auf, Spin J = 0

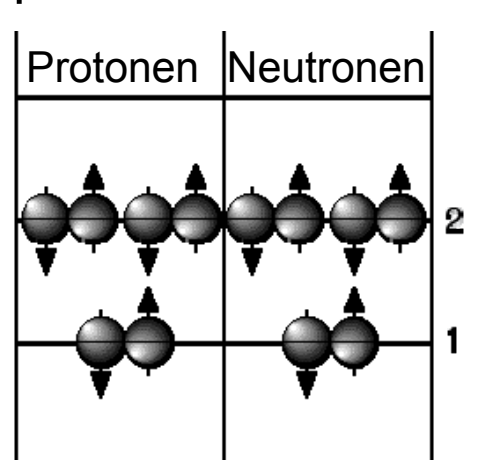
- nichtabgeschlossene Schalen: Leuchtnukleon definiert Spin & Parität

1 Nukleon in äußerster Schale: Gesamtspin J = j

Parität P = $(-1)^{\ell}$

- **Spiegelkerne** ¹⁷O / ¹⁷F : 1p/1n in 1d_{5/2}

gg-Kern mit abgeschlossener Schale + 4 Neutronen + 2 Protonen: J = 0



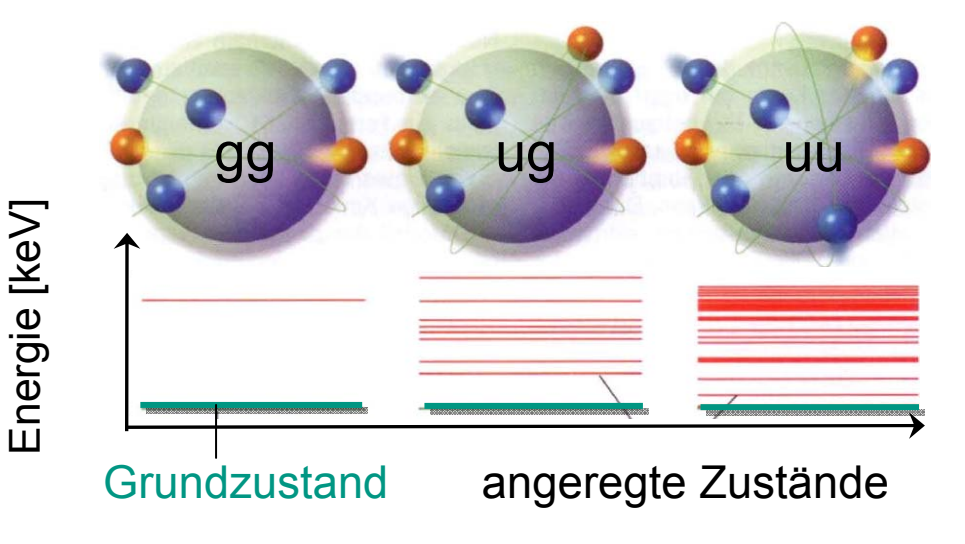
angeregte Kernzustände

gg-Kern: 1. angeregter Zustand

liegt bei hoher Energie

uu-Kern: viele angeregte Zustände

bei niedrigen Energien





Zusammenfassung: Struktur der Kernkräfte



Kurzreichweite der Kernkräfte (~ 1-2 fm)

folgt z.B. direkt aus der schwachen Bindungsenergie des Deuterons Lösung der Schrödinger-Gleichung für Deuteron mit Zentralpotenzial $V_0(r)$: Ansatz eines kastenförmigen Potenzials mit $R_0 = 1.3$ fm; B = -2.2 MeV \raise_{\bullet} Tiefe des Potenzialtopfes: $V_0 \approx -50$ MeV

Abstoßung bei kleinen Abständen (< 0.8 fm)</p>

Nukleon-Nukleon Streuexperimente bei niedrigen Energien zeigen:

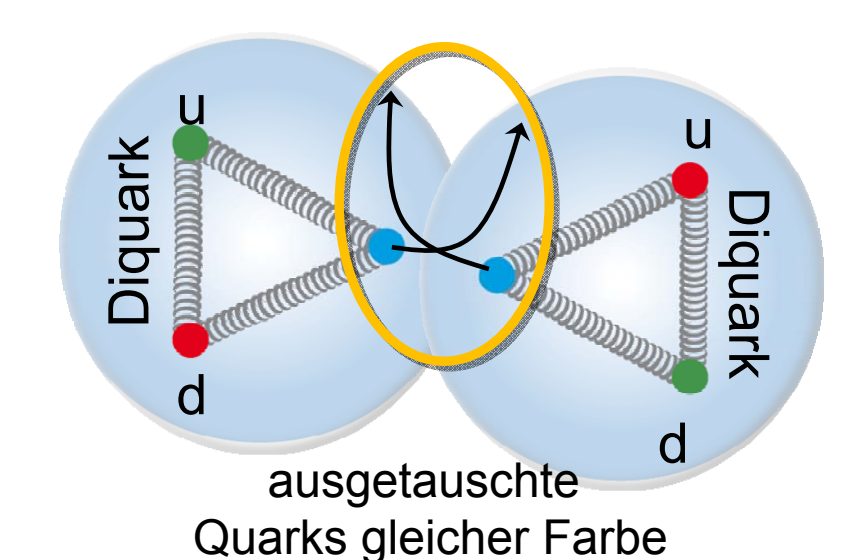
- anziehender Charakter der Kernkraft bis d ~ 2 fm
- abstoßender Charakter der Kernkraft für d < 0.8 fm:
 <p>Abstoßung basiert *nicht* auf dem Pauli-Prinzip,
 12 Quarks in h³: 3 Farbladungen (rbg) , 2 Spinzustände (↑↓), 2 Isospins (u,d) resultiert aus der starken Spin-Spin Wechselwirkung der Quarks wenn 2 Nukleonen "überlappen": 2 der Quarks im p-Zustand ⇒ Abstoßung

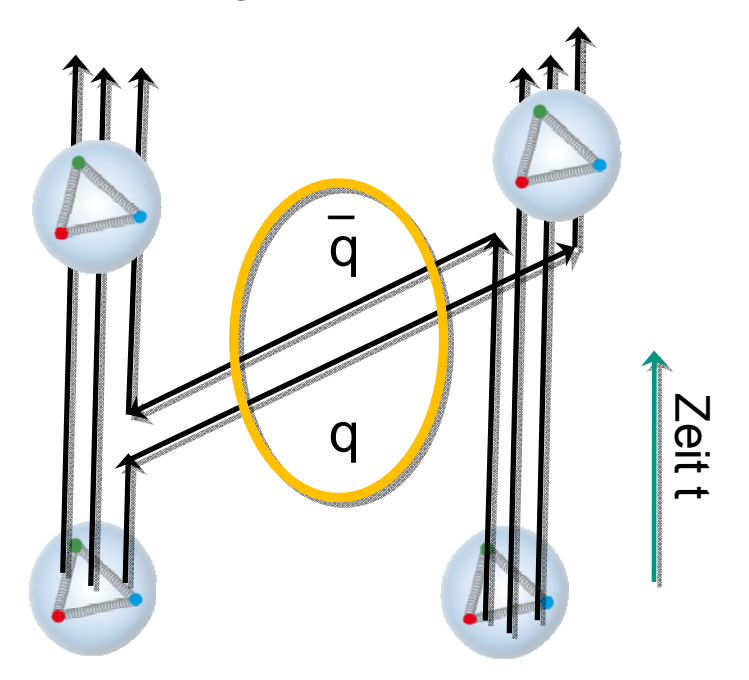


Kernkräfte als Austauschkräfte



- anziehende Kernkräfte: Quarkaustausch analog zur kovalenten Bindung der Atome Modell: Nukleon-Konfiguration aufgebaut aus Diquark und einzelnem Quark Diquark: (u,d) energetisch günstig falls Spin S = 0 & Isospin I = 0 Quarkaustausch nur subdominater Beitrag!







Nukleon-Nukleon Potenzial: Pionaustausch



- durch die endliche Masse m_{π} des ausgetauschten Bosons wird die Reichweite der starken Wechselwirkung begrenzt auf R ~ 1.4 fm
- der Einpionen-Austausch kann nicht alle Eigenschaften des Kernpotenzials erklären: Austausch weiterer Mesonen σ, ω, ρ, η, δ
 ⇒ spezielle Form des Wechselwirkungspotenzials (attraktive/repulsive Bereiche) vgl. zu Restwechselwirkung bei Atomen

p n n n	$\Delta E \cdot \Delta t = \hbar \Rightarrow$ $\mathbf{c} \cdot \Delta t \sim 1.4 \text{ fm}$

Meson	Masse	Reichweite	Typ der Ww.	Stärke
π	138 MeV	1-2 fm	langreichweitig	14.6
η	548 MeV	0.5-1 fm	Bindung	8
ω	783 MeV	0.7 fm	Repulsion	20
ρ	775 MeV	0.7 fm	LS-Kraft	0.95

